

**KVARTARNE NASLAGE OTOKA SUSKA I BAŠKE NA OTOKU KRKU
I NJIHOVO GEOMORFOLOŠKO ZNAČENJE U TUMAČENJU
MORFOLOŠKE EVOLUCIJE KVARNERSKOG PROSTORA**

A. BOGNAR, V. KLEIN, R. TONČIĆ-GREGL, A. ŠERCELJ,
Z. MAGDALENIĆ I M. CULIBERG

Kvartarne taložine na području Sjevernog jadranskog primorja i otocima zauzimaju malo prostranstvo. Pojava im je tipično »oaznog« karaktera. Geomorfološki položaj jasno ukazuje da predstavljaju fragmente jednog, u mlađem pleistocenu, regionalno gledajući, suvislog sedimentnog pokrova iznad temeljne karbonatne podloge. Odnosi se to posebno na prostor današnjeg Jadranskog podmorja od linije Cres—Lošinj, dakle, Kvarnera. Kvartarne naslage Suska, V. i M. Srakana, Unija, Lošinja i u susjednoj Istri (Marlera, Medulin i Savudrija) jasno to potvrđuju. Sačuvane su samo na lokalitetima gdje je reljefna predispozicija (vapnenačke zaravni i podnožja, jakoj arealnoj destrukciji izloženih, padina) nije pogodovala njihovoj jačoj eroziji i deraziji.

Kvartargeološka i geomorfološka istraživanja imaju izuzetnu znanstvenu važnost, ali isto tako i aplikativno značenje, posebno s aspekta naftogeoloških prilika. To naročito, ako se govori o osobinama, genezi i porijeklu pjeska, lesa i lesu sličnih sedimenata.

Dosadašnja istraživanja otoka Suska imaju gotovo dvjestogodišnju povijest. Posebno ako se govori o osobinama, genezi i porijeklu pjeska, lesa i lesu sličnih sedimenata. Većina istraživača smatraju ih eoleskim akumulacijama (A. Fortis, 1771., G. Stache, 1872., C. Marchesetti, 1882., R. Shubert, 1909., F. Šandor, 1914., F. Sacco, 1924., J. Roglić, 1951., C. d'Amrosi, 1955., J. Rubić, 1952., Vl. Blašković, 1957., Lj. Tolić, 1960., R. Mutić, 1967., A. Bognar, 1978, 1979.). Neki od njih predpostavljaju, međutim, kombinirani transport primarnog materijala, i to fluvio+eolski (A. Fortis, 1771., C. Marchesetti, 1882., C. d'Ambrosi, 1955., G. Stache, 1888, 1889. i A. Bognar, 1978.), fluvio+marinski+eolski (F. Sacco, 1924.) i fluvio+marinski (F. Salmojraghi, 1907.). Veoma interesantna mišljenja iznesena su u radovima R. Lorenza (1859.), da je pjeska nanesen s kompna putem morskih izvora za pleistocena, M. Klšpatića (1910.), da je pjesak nastao trošenjem karbonatnih stijena da bi zatim bio transportiran i taložen podzemnim krškim tokovima, a kasnije, izdignut iz mora, G. Stachea (1872.), da predstavlja ostatak delta većih rijeka odijeljenih u antropozojsko doba. Sva ta mišljenja međutim, suvremenim istraživanjima nisu potvrđena. U tu kategoriju mogu se uvrstiti i ono Leonardellijevo (1885.) o termalnom i Taramellijevo (vidi u Vl. Blašković, 1957.) o vulkanskom porijeklu pjeska. Istači treba rad Vl. Blaško-

vića (1957.) koji daje relativno iscrpan pregled dotadašnjih istraživanja otoka Suska, s veoma uspјelim citiranjem starijih radova, koji su inače teško dostupni za korišćenje. Što se pak tiče profila kvartarnih sedmenata Baške na otoku Krku, istraživanja su do sada bila veoma oskudna i prvenstveno se odnose na one provedene za potrebe geološkog kartiranja prostora lista Rab u mjerilu 1:100.000 (A. Mamužić, A. Bilan, B. Korolija, I. Borović i Ž. Majcen, 1973.).¹⁾

I KVARTARNE NASLAGE OTOKA SUSKA

1. Geomorfološki i geološki položaj

Otok Susak dio je Cresko—Lošinjskog otočnog prostora. Prema tome pripada Kvarnerskoj grupi otoka, i to njihovom vanjskom, pučinskom nizu, kao i Cres, Lošinj, Unije, Velike i Male Srakane. Površina mu je oko 3,7 km², što znači da je Susak jedan od manjih otoka SZ dijela Jadrana.

Duž orografska os otoka Suska pokazuje dinarski pravac pružanja tj. SZ—JI. Na tu se os dalje prema SZ nadovezuje plitko položena uska podmorska zaravan u vidu grebena. Dubine mora kreću se između 5 do 15 m.

Duž sjeveroistočne i jugozapadne strane otoka i podmorskog grebena koje se na njega nadovezuje, dolazi do izražaja zguščavanje izobata od 20, 30 i 40 metara, što razotkriva prisutnost ustrmljenih podmorskikh padina, koje odjeljuju pojas plićeg podmorskog reljefa uz samu obalu otoka od dublje položenog i gotovo posve zaravnjenog morskog dna. Dubine mora ovdje se kreću između 45—50 metara.

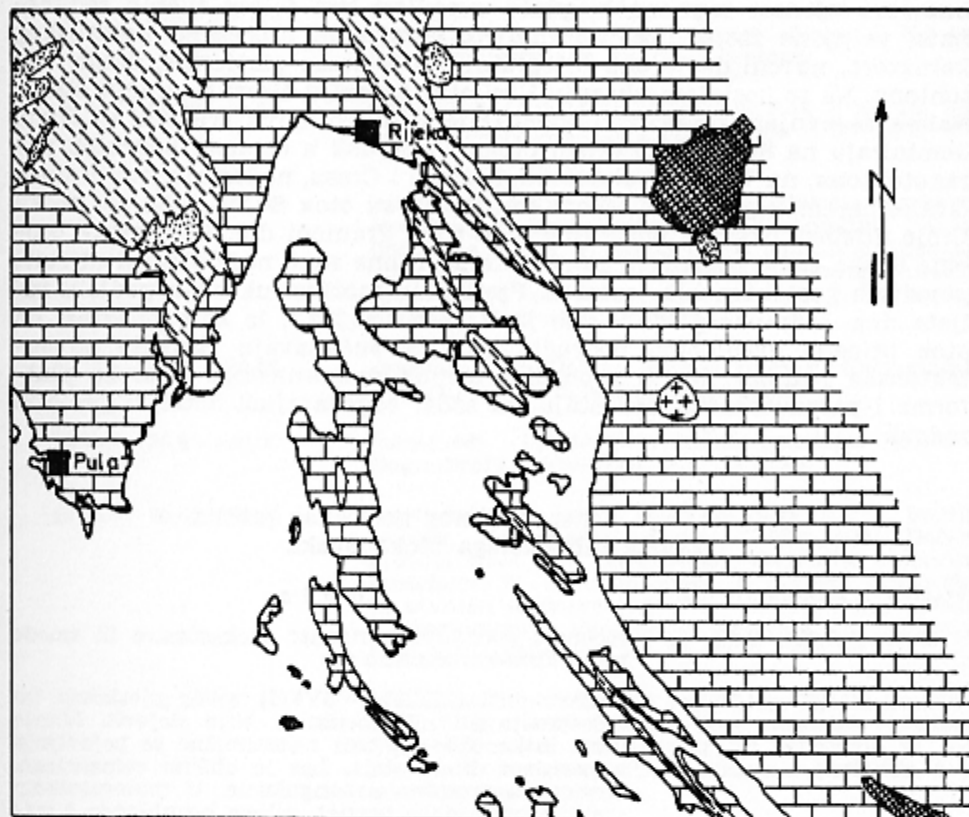
Prema batimetrijskoj²⁾ karti proizlazi da je najustrmljeniji jugoistočni podmorski priobalni pojas otoka predstavljen potopljenom padinom, koja pokazuju pravac pružanja SZ—JI. Ona se nadovezuje na nižu jugoistočnu stranu otoka. Viši sjeverozapadni klifovi otoka, naprotiv, vežu se na pliči i mirniji podmorski reljef. Sve to skupa pokazuje svojevrsnu asimetriju otoka Suska.

Rekonstruirani ustrmljeni dijelovi podmorskog pobočja otoka Suska vjerojatno su rasjednog obilježja. U kojoj su mjeri na sadašnji izgled podmorskog reljefa djelovali destrukcijski morfološki procesi u vremenskom razdoblju pleistocena, kada je istraživano područje predstavljalo kopno, ostaje otvoreno pitanje.

S obzirom na prikazanu prostornu podudarnost ocrta otoka i odgovarajućeg podmorskog reljefa oko njega, proizlazi da kopneni i podmorski dio otoka predstavljaju ne samo jednu morfološku cjelinu, već i zbog ingressije mora skrivenu morfostruktturnu cjelinu, horstovskog tipa.

1) Analize uzoraka sedmenata koji sudjeluju u sastavu otoka Suska i Baške na otoku Krku izvršene su u centralnom laboratoriju poduzeća »INA-Naftaplinix« (granulometrija i kemijski sastav), laboratoriju Geološkog zavoda u Zagrebu (mineraloški sastav) i laboratoriju Biološkog inštитuta Znanstvenoraziskovalnog centra SAZU u Ljubljani. Za pomoć pri sakupljanju uzoraka, fotodokumentacije i odgovarajućim mjerjenjima zahvaljujemo ing. A. Šaleru, prof. B. Nikolić, S. Korenu, višem tehničaru Geografskog zavoda PMF-a u Zagrebu D. Pavličeviću i studentima treće godine istog Zavoda V. Kneževiću, I. Franji, Z. Balogu, D. Mihaljeviću, M. Žigun, N. Matiću, Ž. Čečuri i ostalima.

2) Batimetrijske karte »Rijeka—Murter« mjerila 1:200.000, HJRT, 1955.



Sl. 1. Geološka skica Kvarnerskog prostora (prema A. Škrivaniću i Z. Magdalenić 1979.)

Fig. 1. Geologic scheme of the Kvarner region (after A. Škrivanić and Z. Magdalenić 1979)



LEGENDA:

1. Mladi Paleozoik
2. Karbonati Mezozoika
3. Eruptivi
4. Stariji Kenozoik
5. Holocen

Njezina su neotektonska obilježja također doprinjela da su se postojeće naslage lesa otoka Suska uspjele tako dobro sačuvati na zaravnjenoj površini vapnenačkog bloka Suska.

Otok Susak prema geotektonskoj podjeli podmorja Jadrana (A. Kužina, 1980.) pripada parautohtonu Vanjskih Dinarida, odnosno zadnjem graničnom, ili prijelaznom nizu ljuškavih struktura koje graniče s Istarskom platformom, tj. s autohtonom. Geomorfološke osobine otoka, pose-

bno zaravnjenost vapnenačke ploče u podlozi lesa i lesu sličnih sedimenta, te njena zasjećenost nesumnjivo egzogenim procesima koroziskog karaktera, navodi da je ona integralni dio Istarske platforme, dakle, autohtona. Na to uostalom ukazuju i reljefni odnosi u širem području otoka. Naime, zaravnjeni zaravanski oblici reljefa, toliko karakteristični za Istru, dominiraju na Susku i JZ dijelu otoka Unije dok u ostalom području paraautohtona, na V. i M. Srakanama, Lošinju i Cresu, nedostaju, što bi upućivalo, barem u geomorfološkom smislu, da su otok Susak i JZ dio otoka Unije dijelovi Istarske platforme, i to njen granični dio. Horstovske osovine Suska same potvrđuju pravilo da su rubne zone najmobilniji dijelovi pojedinih geotehtonskih jedinica. Prethodnu morfostruktturnu podjelu reljefa dna Jadranskog mora dao je V. Klein (1982.), iz koje proizlazi da otok pripada graničnom području gdje se sučeljavaju različite moroftektonske jedinice. No, o problemu točnog razgraničenja Istarske platforme i paraautohtona nedostaju, za sada, odgovarajući detaljni geološki radovi.

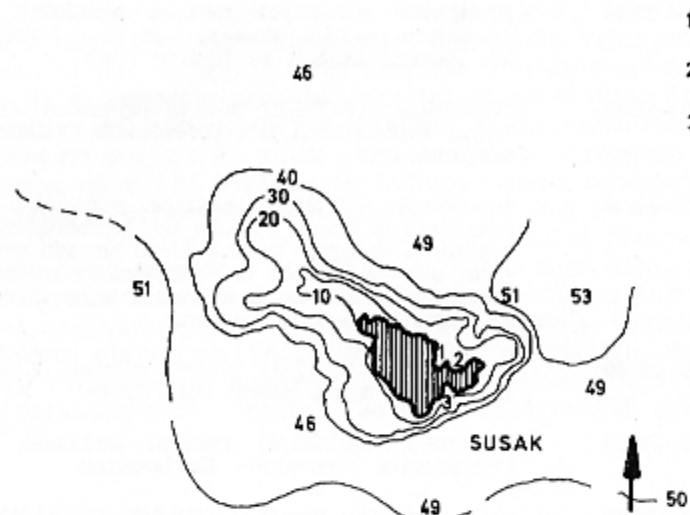
Opis naslaga generaliziranog geološkog profila kvartarnih naslaga otoka Suska

Sloj br.	dubina (u m)	opis
1	0,00— 0,50	recentni pedološki horizont: žučkastosivo ili smeđe mineralno-karbonatno tlo
2	0,50— 4,20	sivkasto-žuti (10YR7/4—5Y6/3) eolski pjeskoviti les (pjeskoviti silt). Karbonatan. Nije slojevit. Manje lesne lutke (0,5—2,0 cm) mjestačno se pojavljaju u gornjem dijelu sloja. Les je obično cementiran. Čestice su pretežno subangularne. U mineraloškom sastavu prevladava granat, zelena hornblenda i epidot. Od gastropoda dolaze: Monacha (Cheba) catusna Müll. (kl. Helicidae), Oxychilus celarium austriacus (kl. Zonitinae), Succinea sp., Vallonia sp. i dr.
3	4,20— 4,60	žutosmeđi (5Y6/5—10Y6/3) pjeskoviti silt. Reliktni pedološki horizont — PK-5. Sadrži humus i karbonate (humusni horizont).
4	4,60—19,00	svjetložuti (5Y7/3—10YR7/4) eolski pjeskoviti les. Karbonatan je i cementiran. Slojevitost samo u tragovima. Gastropodi kao i kod sloja 0,50—4,20 m. U mineraloškom sastavu dominira granat, epidot i zelena hornablenda.
5	19,00—20,00	žuto do svjetlosmeđi (10YR5/4) reliktni pedološki horizont (degradirani černozom). Veoma je malo karbonatan.
6	20,00—23,00	svjetložuti (2,5Y7/4—10YR8/2) eolski pjeskoviti les. Karbonatan je i ne pokazuje slojevitost. U mineraloškom sastavu dominira granat, epidot i zelena hornblenda.
7	23,00—24,40	svjetložuti (10YR8/2) derazijski (deluvijalni) lesoliki pijesak. Karbonatan je i pokazuje mikroslojnu strukturu, tipičnu za sedimente taložene atmosferskom vodom (spiranje). Mineraloški sastav sličan prethodnim slojevima lesa.

8	24,40—25,00	žutosmedi (10YR5/6) reliktni pedološki horizont. Černozjom, na što ukazuje i prevladavajući NA polen karakterističan za hladne stepе.
9	25,00—25,40	svjetložuti (10YR8/2) lesoliki pjesak s lesnim lutkama. Karbonatan je i predstavlja C-horizont černozjoma.
10	25,40—26,00	žutosmedi (10YR5/6) reliktni pedološki horizont. Brunizem ili smede šumsko tlo. Karbonatan. Unutar horizonta uočen je veoma lijepo izražen smedkasto-crni sloj (2—5 cm) ferohumata. Premapolen-analizom tlo je nastalo u uvjetima tople interglacijske klime s riješkom šumom.
11	26,00—29,60	svjetložuti (10YR7/4) lesoliki pjesak. Karbonatan. U gornjem dijelu sadrži lesne lirke.
12	29,60—30,00	žutosmedi (10YR5/6) reliktni pedološki horizont. Degradirani černozjom. Karbonatan.
13	30,00—36,30	svjetložuti do smedi (10YR7/4—10YR5/6) lesoliki pjesak. Karbonatan. Sadrži Gastropode: Delima gibbula Ross. (kl. Clausiliidae), Oxychilus cellarium austriacus W. (kl. Zonitinae). U donjem dijelu sloja utvrđen je dobro razvijeni horizont lesnih lutaka i konglomerata marinskog porijekla od rudistnog vapnenca (veličine i do 20 cm u promjeru).
14	36,30—37,40	crvenkastožuti (5YR6/8) reliktni pedološki horizont, sličan terrarossi. Humusa ima neznatna količina. Slabokarbonatno tlo. Unutar tla otkrivena su 1—2 horizonta konglomerata marinskog porijekla i to od rudistnog vapnenca.
15	37,40 i dalje	vapnenačka ploča, sastavljena od rudistnog vapnenca kredne starosti.

Sedimentološke analize

U granulometrijskom smislu sedimenti koji sudjeluju u sastavu kvartarnih naslaga otoka Suska pokazuju izrazitu dvojnost. Gornji dio generaliziranog geološkog profila predstavljen je s oko 23 m debelim naslagama pjeskovitog silta, koji je porozan (50—55%), a njegov donji dio (23,00—37,40 m) naslagama siltovitog pjeska. Cjelokupni profil sastavljen je, dakle, gotovo u cijelosti od finih klastita. S 6 reliktnih pedoloških horizontata, koji imaju gotovo identičan granulometrijski sastav kao i naslage pjeskovitog silta i siltovitog pjeska, geološki profil kvartarnih naslaga može se podijeliti na šest dijelova, 1 to: 0,00—4,60; 4,60—20,00; 20,00—23,00; 23,00—26,00; 26,00—30,00 i 30,00—37,40 m. Izuzev u slučaju pojave reliktnih pedoloških horizontata stratifikacija istraživanih naslaga zapažena je samo u sloju siltovitog pjeska od 23,00—24,40 m, i to neposredno iznad pedokompleksa III. Zbog nedostupnosti istraživanju 90 m debelih naslaga SZ dijela otoka, nije isključeno, da kvartarni sedimenti u krajnjoj liniji ne pokazuju heterogeniju sliku.



Sl. 2. Otok Susak i dubine okolnog podmorja

Fig. 2. The island Susak and depths of sea-bottom arrounds the island

U granulometrijskom sastavu naslaga pjeskovitog silta tzv. lesna frakcija (0,02—0,05 mm) je dominantna (41,0—52,7%), zatim slijedi frakcija finog pijeska (0,05—0,1 mm) 27,0—38,1%, praha od 0,005—0,02 mm (11,4—20,5%) i gline — manje od 0,005 (1,0—6,0%). Medijan zrna kreće se od 0,036—0,044 mm. Sekundarni maksimumi nisu utvrđeni, izuzev kod nešto izluženijih slojeva (S-4/12 i S-1/2) u kojima je nešto povećan udio glinovitih čestica. Sortiranost sedimenata je veoma dobra i kreće se u vrijednostima od 1,414—1,725. Vrijednosti iznad 1,600 pokazuju isključivo slojevi neposredno ispod recentnog (S-1/0¹ i S-1) i reliktnog pedološkog horizonta PK-V (S-2/0 i S-3). Prevladava uglavnom simetrična do veoma slabo izražena negativna asimetrija raspodjele čestica. Izostanak sporednih maksimuma ukazuje na činjenicu da je sedimentaciju primarnog materijala izvršila jedna sila, osim u sloju S-4/10, koji se nalazi neposredno ispod pedološkog horizonta PK-IV (uzorak S-II-11).

Naslage siltovitog pijeska samo su nešto grubljeg mehaničkog sastava u odnosu na one pjeskovitog silta. Medijan zrna kreće im se od 0,050—0,056 mm. U okviru tih naslaga prevladava frakcija finog pijeska od 0,05—0,1 mm (36,6—54,3%). Veoma velik je udio i silta ili tzv. lesne frakcije od 0,02—0,05 mm (21,8—34,8%), a zatim slijede prah (8,7—20,7%) i gлина (1,0—7,0%). Sortiranost naslaga siltovitog pijeska samo je nešto lošija od onih kod pjeskovitog silta (1,437—1,732). Slabije je izražena samo u sloju ispod pedokompleksa III (S-4/4). Raspodjela čestica je simetrična do blago negativne asimetrije, izuzev u sloju S-4/4, gdje je ona veoma naglašena. Epigenetski poremećaji u tom sloju, pod utjecajem pedogeneze, izraženi su tu i pojavom izrazitog sporednog maksimuma u frakciji manjoj od 0,002 mm.

Reliktne pedološke horizonte karakterizira prevladavanje siltozne komponente u mehaničkom sastavu. Izuzetak u tome je donji dio pedo-kompleksa III (uzorci S-II-4, S-II-5 i S-4/5) i drugi reliktni pedološki horizont računajući iznad vapnenačke podloge (S-4/2, S-II-8 i S-II-10), u čijem sastavu dominira finopjeskovita frakcija (35—52%). Prevladavanje siltozne frakcije naročito dolazi do izražaja u najdonjem (43,0—82,0%) i najgornjem (52,0%) reliktnom predološkom horizontu (PK-I i PK-V). Medijani zrna vjerno izražavaju navedene odnose. Reliktni pedološki horizonti s prevladavajućom siltoznom frakcijom imaju manje prosječne veličine zrna (0,034—0,047 mm) od onih s dominacijom finog pjeska (0,044—0,054). Sortiranost zrna pokazuje veoma velike razlike, a koje se kreću od izrazito dobre (1,173—1,472; S-II-2; S-II-III; S-II-6; S-II-11 i S-4/2) do veoma loše (1,699—1,929; S-II-7; S-II-4 i S-II-8). Utvrđena je i pojava blago izraženih sporednih maksimuma na diferencijalnoj krvulji (S-II-9, S-II-4).

Prema mineralnom sastavu lake i teške mineralne frakcije može se pretpostaviti da detritus analiziranih sedimenata otoka Suska potječe iz područja izgrađenih iz karbonatnih i klastičnih sedimentnih stijena, stijena niskog i visokog stupnja metamorfizma i kiselih i neutralnih eruptiva. U asocijaciji prozirnih teških minerala dominira grupa granat-epidot-hornblenda karakteristična za padsku petrološku provinciju. Detritus kvartarnih sedimenata je iz područja Alpa i sjevernih Apenina rijekom Po i njениh pritocima donešen u predjele sjeverozapadnog dijela Jadrana, a odatle vjetrovima raznesen na karbonatnu platformu u područje današnjih otoka Suska, Unija i Srakana. Treba naglasiti da je čitavo područje sjevernog Jadrana u to vrijeme bilo kopno, i da se sedimentacija odvijala u kontinentalnim uvjetima. Kvartarni sedimenti sličnog mineralnog sastava javljaju se i u sjeverozapadnom dijelu podmorja Jadrana. (A. Škrivanić i Z. Magdalenić 1979.)

Kemijski sastav sedimenata istražen je djelomično. Analizirani su samo intervali od 0,00—10,00 m, 19,00—20,00 m i 23,00—29,60 m i svi profili reliktnih pedoloških horizonata od S-II-1 do S-II-13. Mada dobiveni rezultati ne daju sasvim točan uvid u kemijski sastav cijelokupnog generaliziranog geološkog profila, ipak dopuštaju sasvim pouzdan zaključak da u njegovom sastavu prevladava komponenta SiO_2 (33,65—86,64%), zatim slijedi CaO (1,68—20,86%), Al_2O_3 (6,97—13,92%), Fe_2O_3 (2,56—5,98%) itd. Udio CaCO_3 je veoma izražen. Karbonati sudjeluju u sastavu cijelokupnog profila i do vrijednosti od 37,23%. Manje ih ima samo u slojevima donjeg dijela istraživanog profila (14,92—19,47%) i u nekim izduženijim reliktnim pedološkim horizontima (S-II-1, S-II-9 donji crvenkastožuti pedološki horizont) i njihovim C horizontima (S-II-4, ispod predokompleksa III), što je i razumljivo obzirom na nešto vlažniju klimu tokom njihovog razvoja. Da je tome tako ukazuje i povećani udio Fe_2O_3 u navedenim uzorcima (4,59—5,78%), a i u ostalim analiziranim reliktnim pedološkim horizontima (vidi tablicu 3), u odnosu na naslage pjeskovitog lesa i lesolikog pjeska. Naime, povećano prisustvo Fe_2O_3 govori u prilog relativno veće humidnosti područja današnjeg SZ Jadrana u pojedinim interstadijalima i interglacijalima, kada je većina reliktnih pedoloških horizonata i nastala.

Tablica 1. Sastav teške i luke frakcije uzoraka kvartarnih sedimentata otoka Suska

Oznaka uzorka	Vrsta sedimenta	% teške frakcije	Teška frakcija — 100%						Procirni teški minerali — 100%												Laka frakcija									
			op	co	b	d	ost	g	st	cy	c	ep	zt	h	sh	ak	ef	py	er	ti	np	br	ru	tu	zt	q	f	s	m	k
S 1/0	pleskoviti silt	7,00	10	7	5	5	73	33	1	2	—	20	8	8	1	—	2	1	2	2	—	5	5	10	49	29	4	13	5	
S 1/1	"	10,38	12	8	6	4	70	31	—	2	—	15	7	18	—	1	—	—	4	5	—	5	4	8	—	45	24	8	16	7
S 2/0	"	3,82	13	9	5	9	64	33	—	1	1	16	8	20	1	1	—	—	4	5	—	5	2	2	—	48	26	6	9	11
S 3	"	10,50	12	8	10	3	47	29	—	3	1	20	10	18	1	2	1	—	1	2	2	—	3	1	6	52	23	2	6	17
S 4/11	"	6,24	15	6	4	2	73	33	—	1	—	19	9	14	4	2	1	—	2	5	1	4	2	3	50	32	4	7	7	
S 4/16	"	12,59	10	5	5	2	78	23	—	1	—	19	18	12	1	3	—	1	—	8	7	—	4	2	1	62	33	—	5	—
S 4/5	"	6,59	8	4	4	—	84	20	—	2	—	13	14	22	1	2	1	—	5	9	—	2	5	4	—	62	23	6	9	—
S 4/4	"	11,88	12	3	4	2	79	37	—	1	—	13	14	20	—	1	—	—	2	3	—	2	5	2	—	46	34	7	8	5
S 4/3	"	10,00	11	9	7	3	70	33	2	—	—	16	11	15	—	2	—	—	5	1	—	1	—	4	—	45	32	7	3	13

LEGENDA:

op opaka zrna

co klorit

b biotit

d karbonatna zrna

ost ostali proz. min.

g granat

st staurolit

cy clinien

e korund

ep epidot

zt zelenja hornblendas

sh smeđa hornblendas

ak aluminolit

gf glaukofan

py pirlokseni

cr kromaspinski

ti titanit

ap apnajit

br bruktit

ru rutil

tu turmalin

er erikom

kv kvarc

f feldspati

s žestice stilrena

m muskovit

k kalcitna zrna

Tablica 2. Kemijski sastav lesa i lesu sličnih naslaga otoka Suska
(rezultati dani u %)

Kemijski sastav	U Z O R A K					B R O J				
	S ₁	S _{1/1}	S _{2/0}	S ₃	S _{1/1}	S _{4/11}	S _{4/5}	S _{4/5}	S _{4/4}	S _{4/3}
Gubitak žarenjem na 1000°C										
SiO ₂	47,0	45,08	54,61	47,61	52,68	55,02	58,61	62,80	47,61	47,01
Al ₂ O ₃	8,35	6,96	9,13	7,75	8,76	7,61	8,16	10,35	7,27	8,35
Fe ₂ O ₃	2,76	2,56	2,80	2,75	2,85	2,70	3,01	3,67	2,64	2,84
CaO	20,86	18,13	12,97	16,77	12,94	10,91	0,91	8,36	17,97	16,21
CaCO ₃	37,23	32,36	23,15	29,53	23,10	23,02	19,47	14,92	32,07	28,93
MgO	0,60	4,96	3,36	4,39	4,68	4,18	3,35	1,47	3,23	4,65
MgCO ₃	1,25	10,37	7,03	9,18	9,79	3,73	7,01	3,08	6,73	9,73
Na ₂ O	1,30	1,38	1,66	1,35	1,42	1,58	1,89	2,85	2,43	1,65
K ₂ O	1,17	1,21	1,30	1,39	1,21	1,22	1,84	2,10	1,11	1,32
CaCO ₃	35,74	20,02	14,79	19,01	11,45	12,65	11,13	11,26	24,04	17,35
CaMg (CO ₃) ₂	2,75	22,70	15,39	20,11	21,44	19,13	15,36	6,74	14,78	21,31

Uzorci su sušeni na 105°C

Tablica 3. Kemijski sastav uzoraka reliktnih pedoloških horizonata otoka Suska (rezultati su dani u %)

Kemijski sastav	U Z O R A K							B R O J					
	S-II-1	S-II-2	S-II-3	S-II-4	S-II-5	S-II-6	S-II-7	S-II-8	S-II-9	S-II-10	S-II-11	S-II-12	S-II-13
Gubitak žarenjem na 1000°C	5,66	14,61	12,27	5,89	8,25	25,83	24,42	7,09	4,64	13,02	6,81	12,67	12,17
SiO ₂	66,64	49,47	53,14	67,85	57,71	33,65	35,05	62,62	67,61	52,54	61,00	55,07	52,27
Fe ₂ O ₃	4,59	5,78	5,98	5,31	4,99	3,27	3,19	4,47	4,59	3,79	5,39	3,99	4,75
Al ₂ O ₃	13,39	11,02	13,92	12,98	13,26	8,36	8,24	13,90	12,68	11,35	13,72	10,86	11,47
CaO	1,91	8,24	5,61	1,82	6,59	17,78	3,78	3,53	1,68	11,10	3,08	10,93	7,85
MgO	1,09	4,56	3,39	2,60	2,82	8,89	17,96	1,43	1,67	3,61	2,22	1,81	5,34
pH	8,10	8,30	8,11	7,95	8,45	9,19	8,45	8,01	8,11	8,39	7,88	8,32	8,37
Eh (mV)	410	420	426	425	411	400	419	428	428	412	432	424	425

Uzorci su sušeni kod 105°C

Izvršene su 22 palinološke analize uzoraka lesa i lesu sličnih sedimenata s otoka Suska. Zbog oskudnog sadržaja polena u svima uzorcima, bilo je potrebno analizirati 5 do 10 mikroskopskih preparata od svakog uzorka.

Prva grupa uzoraka (S-1, S-2, S-4 i B) preparirana je postupkom specijalnog obogaćivanja, tj. obradena je deseterostruka količina uzorka s ponavljanjem pojedinačnih postupaka. Druga grupa uzoraka (S-II) ob-

rađena je standardnim postupkom s ciljem primjene specijalne metode samo na uzorcima koji bi dali iznimne rezultate.

Prilikom mikroskopske analize pokazalo se da su pojedinačni uzorci potpuno sterilni. Oni se daije ne uzimaju u obzir. To je S-4/2 iz prve grupe a iz grupe S-II sterilni su uzorci, 1, 4, 9, 10 i 11. Ovi uzorci preparirani su standardnim postupkom.

Većina uzoraka, u kojima ima polena, sadrži polen dvostrukе provenijencije: primarni i sekundarni. Polen anemofilne dendroflore i drugih anemofila, koji se nalazi u uzorcima redovito je bijele boje i slabo je očuvan, katkad i korodiran, te se pojavljuje u malom broju. Lako ga je odvojiti od polena entomofila, koji je redovito (već prije acetolize) intenzivno crvenkastosmeđe boje, često aglomeriran u grudice. Prisutan je u velikim količinama i dobro je očuvan, lako često komprimiran u obliku grudica.

Budući da anemofili proizvode velike količine polena, a entomofili, na protiv, stvaraju malo peluda, jasno je da bi polen anemofila trebao prevladati u prirodnim uvjetima nad entomofilima, no, ovdje je upravo obrnut slučaj.

To bi moglo značiti da je polen entomofila došao u zemlju naknadno, najvjerojatnije aktivnošću insekata, uglavnom solitarnih pčela i to vjerojatno recentno, to jest u postglacijsalu. Upravo je to od presudnog značaja, obzirom da se tako može više-manje sigurno odvojiti fosilni pelud od recentnog ili subrecentnog. Tako je izdvojen prezentiran sinhroni (fosilni) polen.

Sadržaj polena

U kompleksu S 1 i S 2

S 1 — od drvenastih biljaka samo pelud Rhamnaceae (2) zastupljen je u uzorku, a uz to i Gramineae 2, Caryophyllaceae 1, Compositae u aglomeratima (rec.). Svi se ubrajaju u stepne elemente.

S 1/2 — Rhamnaceae 2, Carpinus orientalis — Ostrya (?) 2, aglomerati recentnog polena.

S 2/0 — Pinus 6, Picea 4, Cruciferae 1, Chenopodiaceae 2, Gramineae 1, Plantago 1, — šumska stepa.

U kompleksu S 4

S 4/1 (??) — Pinus 14, Juniperus 11, Beluta 3, Ephedra 1, Quercus 1, Carpinus orient. Ostrya 1, Salix 1, Rhamnaceae 1; Potentilla 2, Cyperaceae 1, Hellanthemum 1, Armeria — Statice 1, Cruciferae 1, Compos. ligulifl. (Taraxacum) aglomerati, Chenopodiaceae 5, Plantago 2, Gramineae 7, Artemisia 4, musci Pottiaceae. Šumska stepa, toplija.

S 4/2 (1 m iznad fos. ped.) — Pinus 1, Juniperus 3, Chenopodiaceae 5, Artemisia 7, Armeria — Statice 5, musci Pottiac., aglomerati recentnog polena. Šumska stepa.

S 4/3 (2 m iznad fos. ped.) — Pinus 3, Rhamnaceae 2, Gramineae 2, Chenopodiaceae 1, aglomed. rec. peluda. Šumska stepa.

S 4/3 (4,5 m iznad fos. ped.) — Pinus 2, Rhamnaceae, Gramineae 4, aglomerati rec. pel. Šumska stepa.

Grupa S-II

S-II/-2 — Compositae ligulifl. (*Taraxacum*), aglomerati.

S-II/-3 — *Betula* 1.

S-II/-5 — nema fosilnih; *Chenopodiaceae*, *Oleaceae*, *Caryophyllaceae*, *Compositae* ligulifl., *Umbelliferae*, *Plantago*, *Gramineae*, *cerealia*.

S-II/-6 2 *Pinus* 2, *Betula* 2, *Alnus* 2, *Carpinus* orient.-*Ostrya* 3, *Gramineae* 3, *Ericaceae* 1, *Oleaceae* aglom., *Rosaceae*, *Fraxinus*, *Myricaceae*, *Salvia*, *Umbelliferae*, *Oenotheraceae*, *Compositae*.

S-II/-7 — *Plantago* 1, *Umbelliferae* 4, *Compositae* 7, *Querceus* (stijene traheja).

S-II/-8 — *Compositae*, aglomerati, *Ericaceae* 1, *Caryophyllaceae* 1.

S-II/-12 — *Betula* 1, *Alnus* 2, *Carpinus* orient.-*Ostrya* 12, *Quercus* 2, *Chenopodiaceae*, *Gramineae* 2; *Oleaceae*, aglomerati, *Ericaceae*, *Umbelliferae*.

S-II/-13 — *Gramineae* 2, *Chenopodiaceae* 1.

Zajedničko pojavljivanje fosilnog i subrecentnog, te recentnog peluda u uzorcima lesa i lesu sličnih sedimenata i reliktnih pedoloških horizonata izgledalo je da će u početku zamrsiti već ionako oskudne rezultate. Međutim, postojanje upadljive razlike omogućilo je odvajanje jednog od drugog. Kao što je već spomenuto, recentni pelud dospio je u zemlju dje-lovanjem solitarnih pčela *Andrena* i *Meliponidae* i dr., koje grade gniazda duboko unutar stijene i hrane leglo preludom.

Iako je fosilni polen daleko slabije zastupljen, ipak omjer između drvočkih i zeljastih biljaka, kao i između frigorifilnih i mezofilnih elemenata pruža neke mogućnosti nagadanja o vegetaciji i klimi.

Gornji dio profila kvartarnih naslaga akumuliran je u hladnim klimatskim prilikama, s dominantno stepskom i šumsko-stepskom vegetacijom. Središnji dio geološkog profila, između 4,60—25,00 m, predstavljen naslagama pjeskovitog lesa, u palinološkom pogledu uglavnom je sterilan. Lesoliki pijesci između pedološkog kompleksa III i najdonjeg crven-kasto-žutog horizonta taloženi su u uvjetima prevladavajuće hladno-šumske stepne i nešto toplije rijetke šume i stepa. Izuzev reliktnog pedološkog horizonta PK-V i pedokompleksa PK-III ostala reliktna tla su sterilna. Najmladi reliktni pedološki horizont u svjetlu palinoloških analiza taložen je u hladnim klimatskim prilikama sa šumovitim stepom. Slični odnos vrijede i za gornji dio pedokompleksa III. To je černozjom, čija je geneza vezana za hladne stepske uvjete. Donji dio pedokompleksa III je šumsko tlo nastalo u toplijoj klimi s prevladavajućom rijetkom šumom, vjerojatno r-v interglacijsala.

Vrste sedimenata

Na temelju izvršene sedimentološke analize došlo se je do zaključka da su taložine koje sudjeluju u sastavu istraživanog profila eolskog, de-razijskog, marinskog i epigenetskog porijekla.

Eolski sedimenti čine najveći dio istraživanih naslaga. Uz dominirajuću tzv. lesnu frakciju, od 0,02—0,05 mm, kod pjeskovitog lesa (42,0—52,7%), na eolsko porijeklo lesa ukazuje i njihov unimodalni karakter i izostanak slojevitosti sedimenata. Relativno mali udio zrna sa mat-sja-

jem (5% prema Mutić R., 1967) ukazuje istovremeno na relativno kratki transport čestica vjetrom. Time bi se moglo objasniti i prevladavajuća fino pjeskovita funkcija u donjem dijelu profila (od 23—37,40 m).

Nešto veća humidnost područja za vrijeme transporta primarnog materijala u donjem dijelu sklopa eolskih naslaga uvjetovao je taloženje pretežno finopjeskovite frakcije, pa u tom dijelu profila upravo stoga, prevladavaju naslage lesolikih pijesaka. Prevladavanje granata, epidota i zelene hornblende upućuje na Padsko porijeklo primarnog prašinastog materijala. Radi se, dakle, o fluvijalnom materijalu koji je eolskim putem, tokom glacijalnih razdoblja, kada je ovo područje imalo periglacijalne osobine, vjetrom pretaloženo na istraživano područje. U prilog tome govori i mineraloški sastav podmorskih sedimenata u Kvarnerskom zaljevu u neposrednoj blizini Suska (A. Škrivanić i Z. Magdalenić, 1979).

Sedimenti derazijskog porijekla utvrđeni su samo neposredno iznad pedokompleksa PK-III. To su laminarno uslojeni lesoliki fino pjeskoviti slojevi na dubini od 23,00—24,40 m. Najvjerojatnije su taloženi atmosferskom vodom ili sniježnicom. Debljina pojedinih slojeva nije veća od nekoliko mm. Unimodalnost lesolikog pijeska može se tumačiti izrazitom homogenošću mehaničkog sastava spiranjem pretaloženog materijala, najvjerojatnije, eolskog porijekla.

Reliktni pedološki horizonti predstavljaju epigenetskim (pedogenetskim!) procesima izmijenjene naslage pjeskovitog lesa i lesolikog pijeska. Uočeno je i odgovarajućim analizama utvrđeno 6 horizonta reliktnog tla (vidi prilog 1). Prva dva koja se pojavljuju unutar naslaga pjeskovitog lesa, tipična su stepsku tlu černozjomskih osobina (PK-IV i PK-V). Razvijen AC horizont, relativno visok udio CaCO_3 , dominacija tzv. lesne frakcije i visoke vrijednosti ph (7,88—8,37%) te boja, osnovni su pokazatelji navedenog zaključka. U slučaju PK-V i palinološke analize potvrđuju stepsku sredinu u čijim okvirima se odvijala pedogeneza, tog u stvari, relativno tankog humusnog horizonta. Slične osobine pokazuju gornji dio pedokompleksa III. Reliktni pedološki horizonti donjeg dijela pedokompleksa III i PK-II pripadaju tipu šumskog tla. To su u stvari brunizemi ili smeđa šumska tla. Palinološki sastav i visoki udio ph (8,01—8,32%) kao i CaCO_3 nesumnjivo to i potvrđuju. Reliktni pedološki horizont, koji leži na rudistnom vapnencu, također pripada tipu šumskog tla. Siromašan je karbonatima. Relativno visok postotak Fe_2O_3 i crvenasta boja upućuju da se pedogeneza odvijala u toplijim interglacijskim klimatskim prilikama. Pojava brojnih konkrecija ukazuje na nešto veću izluženost tla.

Marinski sedimenti predstavljeni su s konglomeratima koji se pojavljuju unutar crvenkasto-žutog baznog tla i u sloju lesolikog pijeska neposredno iznad njega. Geneza im se može tumačiti povišenom razinom mora i njegovom abrazijskom djelatnošću. Konglomerati su krhotine rudistnih vapnenaca, koji čine osnovu kvartarnih naslaga Suska. Abrazijskim radom mora uglavnom su dobro zaobljeni. Promjer pojedinih zrna kreće se od nekoliko cm pa do 20-tak cm.

*Paleogeografska rekonstrukcija generaliziranog geološkog profila
kvarternih naslaga i njihovo značenje u tumačenju
geomorfološke evolucije reljefa*

a) Paleogeografska rekonstrukcija

Za paleogeografsku rekonstrukciju i kronostratigrafsko uvrštavanje od izuzetnog značenja je da pored lesa, lesolikih pijesaka i marinskih konglomerata, u sastavu profila sudjeluju i šest reliktnih pedoloških horizonta. Može se, međutim, pretpostaviti da su destrukcijski procesi neke od reliktnih pedoloških horizonata i dio naslaga pjeskovitog lesa i lesolikog pijeska denudirali, pa je njihovo eventualno postojanje danas teško ustanoviti. Na takove mogućnosti ukazuju utvrđene denudacijske diskordan- cije, posebno u najgornjem i donjem dijelu profila od 0,00—10,00 m i 30,00—37,40 m.

Na osnovu usporedbe sedimentoloških osobina s relativno velikom sigurnošću se može tvrditi da pedokompleks III na dubini od 24,40—26,00 m predstavljen brunizmom ili smeđim šum. tlim u donjem dijelu, s crnosmeđim proslojkom ferohumata, i tlom černozjomskih osobina u gornjem dijelu odgovara r-v interglaciјalu. Po svemu sudeći početni dio interglaciјala je bio vlažniji i topliji. U prilog tome govori prevladavajuća šumska vegetacija, prema palinološkom analizama, i pojava ferohumata. Završni dio interglaciјala bio je sušniji i hladniji o čemu svjedoči razvoj černozjoma na relativno tankom sloju pjeskovitog lesa, s konkrecijama, iznad šumskog tla. Palinološki sastav černozjoma karakteriziran prevladavanjem travne vegetacije s dominacijom chenopodiaeaceae, nesumnjivo govori u prilog tome. Nešto veća vlažnost područja SZ Jadrana tokom donjeg virma pod utjecajem jačih prodora Atlantskih zračnih masa, uvjetovala je da u morfološkom oblikovanju prostora na značenju doblju derazijski (padinski) procesi. Izraz toga je pojava gotovo 1,5 m debelog sloja derazijskog lesolikog pijeska iznad pedokompleksa III. Pjeskovitost i uslojnost sedimenata govori u prilog akumulaciji primarnog materijala spiranjem i to, vjerojatno, krionivalnim. Slične prilike, u to vrijeme, vladaju u Panonskom prostoru (Pécsi M. 1965. i Bognar A. 1978). Slijedi sloj pjeskovitog karbonatnog lesa što upućuje na povećanje sušnosti područja u donjem virmu.

Srednji dio virma na Susku predstavljen je razvojem reliktnog pedološkog horizonta (PK-IV) i naslagama pjeskovitog lesa (cca 10 m). Reliktni pedološki horizont ima osobine degradiranog černozjoma, što se može objasniti povećanjem vlažnosti i izluživanjem u razdoblju neposredno nakon njegovog razvoja ($\text{CaO} = 3,8\%$). Veći dio srednjeg virma karakteriziran je taloženjem debelih naslaga pjeskovitog lesa, dakle, sušnjom i hladnjom klimom. Može se, međutim, pretpostaviti postojanje jedne toplije i vlažnije faze tokom toga razdoblja, no, zbog nepostojanja odgovarajućeg reliktnog pedološkog horizonta, koji je vjerojatno denudiran, to je teško dokazati.

Posljednji interstadijal virma (v_{2-3}) očito je bio predstavljen jednom veoma izrazitom erozijsko-derazijskom fazom, čemu u prilog govori nepostojanje odgovarajućeg reliktnog pedološkog horizonta, pa se stoga, s velikom sigurnošću može pretpostaviti da je denudiran. Daljim istraživanjima, u eventualnim budćeim otkopima i otkrivenim profilima, za

vjerovati je da će se utvrditi njegovo postojanje, no, to za sada ostaje u sferi pretpostavki.

Najmlađe kvartarne naslage u najgornjem dijelu profila, u svjetlu rezultata palinoloških analiza taložene su u hladnim klimatskim prilikama završnog dijela virmorskog razdoblja s preovladajućom stepskom i stepsko-šumskom vegetacijom (vidi prilog 1). Pedogeneza tankog humusnog horizonta černozjomskih osobina (PK-V) na dubini od 4,20—4,60 m također je vezana za stepske uvjete. Kraj pleistocena obilježen čestim izmjenama suho-hladnih, hladno-vlažnih i toplijih klimatskih faza ostavio je svoj trag i u polen spektru dijela naslaga pjeskovitog lesa, posebno u sloju S-1/02 (1,50—4,20 m).

Donji dio naslaga kvartarne starosti, od 26,00—37,40 m, na osnovu superpozicije i činjenice da nad njima leži pedokompleks III r-v interglacijsala, može se uvrstiti u riški glacijal. Izuzetak u tome čini bazni reliktni pedološki horizont. Po svojim pedogenetskim osobinama to je šumsko tlo koje je po razvoju vezano za interglacijsalne klimatske prilike m-r. Naime, njegova crvenasta boja izraz je prevladavanja visokih ljetnih temperatura. Stimulirale su intenzivne procese kemijske rastrošće, koja je rezultirala crvenkastom bojom tla (povećani udio Fe_2O_3). Istovremeno, siromaštvo s karbonatima ukazuje na humidnost kraja i jake procese izluživanja. Povećani udio glinovitih i siltovitih čestica u mehaničkom sastavu, kao i boja, uvrštava ga u tla s osobinama veoma sličnim terra rossi. Pojava marinskih konglomerata unutar pedološkog horizonta ukazuje na nešto povušenu razinu mora u odnosu na recentno razdoblje. Može je isto tako da je tokom mindelsko-riškog interglacijsala došlo do izdizanja horsta Suska, pa su konglomerati izraz opličivanja mora i odmiranja njegove abrazijske djelatnosti.

Sudeći po palinološkom sastavu relativno velika vlažnost istraživanog prostora održala se je i tokom donjeg risa; lesoliki pijesci između baznog crvenkasto-žutog tla i reliktnog pedološkog horizonta PK-IV taloženi su na području karakteriziranim toplijom klimom, koje je bilo potkriveno rijetkom šumom i šumovitom stepom. PK-IV koji odvaja naslage lesolikog pijeska donjeg i gornjeg risa, pripada brunizemima ili smedem šumskom tlu. Hladnije klimatske prilike gornjeg risa indicirane su odgovarajućim palinološkim sastavom naslaga lesolikog pijeska između 26,00—29,60 m, u kojem dominiraju elementi karakteristični za hladnije šumsko-stepska područja.

b) Geomorfološka interpretacija rezultata

Taloženje kvartarnih naslaga započinje u srednjem pleistocenu, točnije u m-r interglacijsalu, čemu je vjerojatno prethodila faza izdizanja horsta Suska, ili jedna jako erozijska-derazijska faza koja je denudirala, eventualno postojeće, naslage starije od srednjeg pleistocena odnosno mlađe od krede. Tokom risa talože se isključivo lesoliki pijesci eolskog porijekla. Primarni prašinasti i pijeskoviti materijal nesumnjivo potječe od naplavina rijeke Po i njenih pritoka. Najvjerojatnije da se akumulaciju primarnog materijala izvršili zapadni ili jugozapadni vjetrovi. Vlažnost područja i pretežno šumski i šumsko-stepski vegetacijski pokrov nisu pogodovali debljim akumulacijama eolskog materijala. Dodati treba da su i padinski destrukcijski procesi tome uveliko doprinjeli, mada, tragova

derzijske sedimentacije nema. Nakon r-v interglacijskog razvoja, tokom čitavog vrima prevladava akumulacija eolskog pjeskovito-slitnog materijala iz kojeg su diagenetom nastale oko 23 m debele naslage karbonatnog i pjeskovitog lesa. Početni dio vrima bio je nešto vlažniji s prevladavajućim derazijskim procesima, o čemu svjedoči oko 1,5 m debele naslage uslojenog derazijskog lesolikog pijeska. Unutar naslaga pjeskovitog lesa utvrđene su samo dvije nešto vlažnije i toplije faze, predstavljene pedološkim horizontima černozjomskih osobina. Može se pretpostaviti da je u gornjem vrimu jedna veoma jaka erozijsko-derazijska faza denudirala neke tada postojeće reliktne pedološke horizonte i dio naslaga pjeskovitog lesa, međutim, za to, za sada, nema odgovarajućih materijalnih dokaza.

Položaj naslaga, njihova, uglavnom, neslojevitost i karakter sedimentačkog habitusa ukazuje da je Susak tokom promatranih vremenskih intervala od m-r interglacijskog do danas imao sve osobine jedne lesne zaravni. Danas prevladavajući reljefni oblici, uleknuća korozionsko-sufozijskog porijekla i surduci sasvim sigurno su bili dominirajući mikroreljefni oblici na otoku od risa pa na ovamo. Antropogeni period holocena utjecao je na jaču padinsku destrukciju lesnih i pjeskovitih sedimenata i pojavu niza antropogenih stepenica izgrađenih u razdoblju jakog širenja vinogradarstva na otoku. Abrazijskim procesima ogoličen je dio vapneničke ploče u podlini kvartarnih naslaga, no, obalna vapnenička zona nije šira od 10-tak m.

II KVARTARNE NASLAGE BAŠKE NA OTOKU KRKU

Geomorfološki i geološki položaj

Otok Krk pripada kvarnerskoj skupini otoka, i to njihovom unutrašnjem nizu, (Krk—Prvić—Goli—Sv. Grgur—Rab). Istraživani profil kvartarnih naslaga nalazi se 1,5 km JZ od samog naselja Baške, i to na kontaktu podnožja vapneničkog bila Organ (390 m), flišne sinklinalne udoline i mora. Bilo Organ građeno je od svjetlosivih i bijelih rudistnih vapnenaca turona i senona, te vapneničkih mikrobreča paleogena-neogena (P. Mamuzić i ostali, 1973), dok u sastavu flišne sinklinale Baške prevladaju lapori i pješčenjaci s ulošcima vapnenaca. Akumulacija u okviru koje je antropogenim otkopom otkriven istraživani profil građena je isključivo od padinskih naslaga derazijskog porijekla (deluvij + proluvij). Zasjećena je u jednu relativno blagu kosinu u podnožju strmih vapneničkih eskarpmana diseciranih nizom derazijskih suhih dolina koje se sutječu upravo u prostoru akumulacije — profila. Slijedi iz tog da se tu radi o jednom tipičnom glacisu, čija je morfogeneza vezana za kvartarno razdoblje.

Opis geološkog profila kvartarnih naslaga Baške na otoku Krku

Sloj br. dubina (u m)

opis

1 0,00— 6,30

Tamnožućasto-narandasti (10YR6/6) šljunkoviti pijesak s cementiranim proslojejima (0,5—2,0 cm), deluvijalnog porijekla.

2	6,30—13,80	Tamnožučkasto-naranđasti (10YR6/6) šljunkoviti pijesak, deluvijalnog porijekla. Veoma je loše sortiran. Karbonatan.
3	13,80—26,10	Umjereno-naranđasti pjeskoviti šljunak (10YR7/4) s cementiranim proslojcima, (2,0—5,0 cm), deluvijalnog porijekla, loše sortiran. Karbonatan.
4	26,10—26,40	Tamno-žučkasto-naranđasti (10YR6/6) krupni pijesak fluvijalnog porijekla. Karbonatan. Dobro sortiran.
5	26,40—28,20	Tamnožučkasto-naranđasti (10YR6/6) do žučkasto-smedji (10YR5/4) veoma pjeskoviti šljunak deluvijalnog porijekla s tragovima zatrpanih korita bujičastih tokova ispunjenih žučkastosmedim (10YR5/4) pjeskovitim šljunkom. Karbonatan.
6	28,20—29,40	Žučkasto-smedji ((10YR5/4) veoma pjeskoviti šljunak deluvijalnog porijekla. Karbonatan.
7	29,40—30,80	Žučkasto-smedji (10YR5/4) do smedkasti šljunkovito-siltoviti pijesak i pjeskoviti šljunak s proslojkom šljunkovitog pijeska. Reliktni pedološki horizont (PK-I), osobina podzola. Relativno siromašan karbonatima.
8	30,80—32,00	Izmjena pjeskovitog šljunka i šljunkovitog pijeska svjetlosmeđe boje (5YR5/6).
9	32,00—33,80	Tamnožučkasto-naranđasti (10YR6/6) šljunkoviti pijesak deluvijalnog porijekla s cementiranim proslojcima.
10	33,80—35,20	Crvenkastosmedji (5YR4/4) reliktni pedološki horizont (PK-II), interglacijalne starosti (r-v?).
11	35,20—37,90	Žučkasto-smedji (10YR5/4) šljunkovito-siltoviti pijesak deluvijalnog porijekla.
12	37,90—43,00	Tamnožučkasto-naranđasti (10YR6/6) do blijedo-smedji (10YR5/2) pjeskoviti šljunak proluvijalnog porijekla.

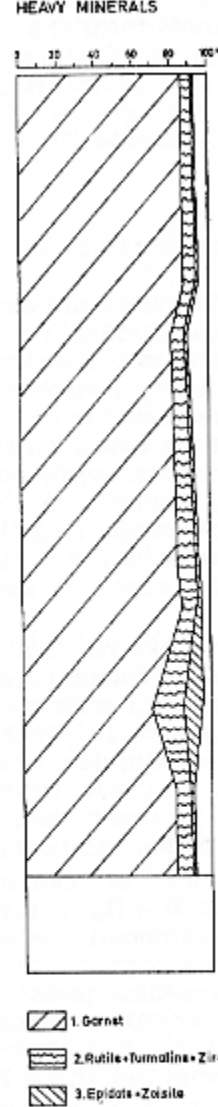
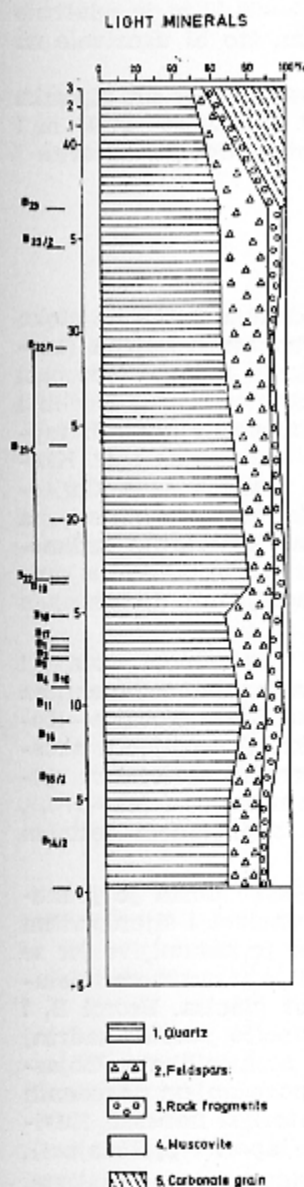
i
vapnenička podloga

Sedimentološka analiza

U granulometrijskom pogledu sedimenti koji sudjeluju u sastavu geološkog profila Baške na otoku Krku pokazuju određenu homogenost svog mehaničkog sastava. To su gotovo isključivo grubi klastiti. Prema dominirajućem sastavu veličine crna može se izdvojiti četiri tipa sedimenata, i to su pijesak, šljunkoviti pijesak, pjeskoviti šljunak i šljunkovito-siltoviti pijesak. Karakteristična je gotovo pravilna smjena pjeskovitih šljunkaka i cementiranih šljunkovitih pijesaka u gornjem dijelu profila. Pjeskoviti šljunci pojavljuju se unutar zatrpanih korita bujičastih tokova, neposredno iznad i ispod pedokompleksa PK-I, i u najdonjem dijelu profila od 37,90—43,00 m. Unutar navedenih naslaga pojavljuju se dva tanja sloja reliktnih pedoloških horizonata i jedan lijepo izražen sloj krupnih pijesaka, i to u donjim partijama istraživanog profila.

Šljunkoviti pijesci i uslojeni cementirani šljunkoviti pijesci ulaze u kategoriju srednjezrnčanih do krupnozrnčanih pijesaka. Medijan zrna im se kreće od 0,42—0,75 mm. Sortiranost im je veoma slaba i izlazi iz mjer-

Fig. 3. MINERAL COMPOSITION



Sl. 3. Minerološki sastav profila kvarternih naslaga Baške na otoku Krku
Fig. 3. Mineralogical composition of quaternary layers of Baška on island Krk

LEGEDA:

- Laki minerali
1. kvarc
 2. feldspati
 3. čestice stijena
 4. Muskovit
 5. kalcitna zrna

ljivih vrijednosti. Prateći šljunci pripadaju frakciji većoj od 2,0 mm. To su uglavnom kategorije griza (2—4 mm) ili sitnih šljunaka (nešto većih od 4 mm). Pjeskoviti šljunci također imaju veoma niske vrijednosti sortiranosti (više od 2,00). Medijan zrna im se kreće u vrijednostima 1,00—1,05 mm, izuzev za sloj pjeskovitog šljunka od 37,90—43,00 m, gdje je on znatno veći.

Znači to da većina pjeskovito šljunkovitih sedimenata svoj maksimum imaju u frakciji griza. Sloj krupnog pjeska od 26,10—26,40 m je relativno dobro sortiran a vrijednost medijana im je 0,67 mm, što bi ukazivalo na njegovo eolsko ili fluvijalno porijeklo.

Veličina promjera zrna najmanja je u šljunkovito-siltovitim pjesaka (Md 0,037—0,060 mm) u slojevima od 29,40—29,90 m i 35,20—37,90 m i reliktnom pedološkom horizontu PK-II, u kojem prevladavaju siltovite i glinovite čestice.

Mineraloški i petrografski sastav

Detritus analiziranih kvartarnih sedimenata područja Baške na otoku Krku potječe iz područja Izgrađenih iz starijih karbonatnih stijena (krednih i eocenskih vapnenaca), klastičnih sedimentnih stijena (eocenski filišni klastiti), stijena niskog i visokog stupnja metamorfizma i kiselih i neutralnih eruptiva. Analizirani sedimenti sadrže fragmente krednih vapnenaca, ljske pretaloženih eocenskih foraminifera (numulita) i dr. Krupni i svježi fragmenti distena, svježa zrna i kristali granata, zrna kloritoida i glaukofana upućuju na donos dijela detritusa iz metamorfnih stijena u prvom ciklusu sedimentacije. Detritični materijal kvartarnih sedimenata Baške potječe iz područja Dinarida i Alpa. Detritus je taložen u kontinentalnim uvjetima na kopnu te koradiран i zaobljavan djelovanjem vjetrova.

Obrađeni sedimenti Baške na Krku mogu se po mineralnom sastavu i sedimentološkim karakteristikama usporediti s kvartarnim sedimentima otoka Paga. Serija kvartarnih sedimenata na potezu Stara Novalja—Kolan—Pag se sastoji od pljeska i šljunkovitih pjesaka. U asocijaciji akcessornih teških minerala izrazito dominira granat, sporedni sastojci su epidot, colosit, rutil, turmalin i cirkon. Granat dominira u sastavu (61—87%), što se može objasniti njegovom relativno većom specifičnom težinom (3,5—4,5) i otpornošću prema kemijskoj rastrošbi.

Kemijski sastav uzorka sedimenata Baške dosta je jednoličan, s iznimkom uzorka B_1 i B_{1s} . U pjeskovitim šljuncima i šljunkovitim pijescima prevladavaju karbonati (39,3—87,67%), što je razumljivo jer se radi o materijalu s okolnih vapnenačkih padina, koji je rastrošbom i deluvijalno-proluvijalnim procesima pretaložen u prostor glacisa. Uzorci B_1 i B_{1s} uzeti iz reliktnih pedoloških horizonata imaju izrazito povišen sadržaj SiO_2 (59,61—66,09%) i Al_2O_3 (7,43—8,73%) odnosno alumosilikata. Objasnititi se to može sekundarnim ispiranjem karbonata i povećanjem navedenih spojeva u tlu ili pak činjenicom da je primarni materijal nanesen fluvijalnim procesima s filišnog područja udoline Baške (lapori i pješčenjaci).

Mada palinološke analize nisu dale odgovarajuće rezultate, zapaža se velika sličnost polen sastava sedimenata Baške i Suska, s time da je zbog kontinentskog položaja Krka udio stepskih elemenata nešto izraženiji:

B-7 — Betula 1, Salix 1; Liliceae 1, Chenopodiaceae 1, Compositae 1, Plantago 1, gramineae 1-stepa. Hladno.

B-10 — Pinus 4, Juniperus 3, Salix 1; Plantago 1, Compositae 5, Gramineae 3, Chenopodiaceae 3, musci, monol. sporae — šumska stena. Hladno.

Tabl. 4. Sastav teške i laka frakcije uzoraka kvartarnih sedimentata otoka Kriča (područje Baške)

Oznaka uzorka	% teške frakcije	Teška frakcija — 100%										Laka frakcija — 100%												
		op	co	b	ost.	g	st	cyp	c	ct	ep	zt	h	gf	er	ti	ap	ru	tu	zr	q	f	s	m
Baška 23	3,50	36	—	—	64	96	2	1	—	1	1	1	—	—	2	2	3	51	5	5	—	—	39	
Baška 22	3,33	29	4	—	67	87	—	1	—	1	—	—	1	1	1	1	1	65	26	7	2	—	—	
Baška 21	0,71	32	6	—	62	80	3	2	—	1	2	—	—	2	—	—	3	—	4	3	66	24	2	3
Baška 18	2,80	30	2	2	66	83	1	—	—	1	—	—	1	1	1	2	2	6	79	13	6	2	—	—
Baška 17	2,87	36	3	—	61	85	—	1	—	1	—	—	1	—	1	1	5	1	3	63	25	5	7	—
Baška 16	2,76	42	3	—	55	68	4	—	1	—	5	5	1	—	—	2	3	12	74	12	10	4	—	
Baška 14/2	5,00	45	2	2	51	81	1	—	—	—	2	—	2	1	—	1	1	6	67	16	5	12	—	
Baška 6	3,75	45	—	—	55	77	2	—	—	—	1	—	1	—	—	2	2	6	8	69	17	9	5	—
Baška 5	2,50	37	—	—	63	79	2	—	—	—	3	1	—	—	—	1	2	3	5	4	65	27	4	4

LEGENDA:

op	opaka zrna	gf	Elaukofan
co	klorit	cr	kromospinel
b	biotit	ti	titanit
	ost ostali procirni minerali	sp	spasilit
g	granat	ru	rutil
st	staurolit	tu	turmalin
cyp	distan	zr	cirkon
c	korund	q	kvarc
ct	kloritoid	f	feldspati
ep	epidot	s	šestice stijena
zt	coltit	m	muskovit
h	hornblendit	k	karbonatna zrna

Tabl. 5. Kemijski sastav sedimenata kvarternih naslaga Baške na otoku Krku

(u %)

Kemijski sastav	B ₁	B ₂	U z o r c i	B _{15/2}	B ₁₆
	B _{15/2}	B _{14/2}	B _{15/2}		
Gubitak žarenjem	8,73	26,28	36,99	39,37	33,57
SiO ₂	66,09	34,61	34,51	10,00	20,51
Al ₂ O ₃	8,82	3,79	2,22	0,00	1,63
Fe ₂ O ₃	3,03	1,79	0,75	0,35	1,06
CaO	10,94	32,96	46,58	49,64	43,21
CaCO ₃	19,52	58,83	83,14	88,60	75,34
MgO	0,23	0,38	0,39	0,37	0,43
MgCO ₃	0,28	0,73	0,82	0,78	0,84
Na ₂ O	0,76	0,47	0,26	0,18	0,36
K ₂ O	1,24	0,59	0,25	0,13	0,25
CaCO ₃	19,19	57,89	82,17	87,67	39,33
CaMg(CO ₃) ₂	0,60	1,73	1,80	1,71	1,83

B-15/2 — Chenopodiaceae 1, Gramineae 4, monol, sporae, musci (Pottiaceae) — stepa. Hladno.

B-16 — Pinus 1.

Samo četiri uzorka sadržavali su, dakle, mikroflorističke ostatke. Sterilnost profila u palinološkom smislu očito je rezultat veće vlažnosti prostora u holocenskom razdoblju i praveca strujanja podzemne vode. Treba dodati da su i procesi pretaloživanja, na što ukazuje padinski habitus sedimenata, također pridonijeli sterilnosti istraživanih naslaga.

Vrste sedimenata

Analiza sedimentioloških i palinoloških osobina geološkog profila kvarternih naslaga Baške pokazala je da u njegovom sastavu sudjeluju naslage derazijskog i fluvijalnog porijekla te egipenetski izmjenjene naslage.

Derazijski sedimenti su deluvijalnog i proluvijalnog porijekla. Pretež u sastavu geološkog profila. Deluvijalni sedimenti su najčešći. Karakterizira ih izmjena cementiranih i necementiranih proslojaka. Pad slojeva konsekventno prati nagib padine (do 15°), koji u kombinaciji s pojavom sekundarnih maksimuma u granulometrijskom sastavu ukazuju da su nastali djelovanjem spiranja kiše i sniježnice. Iz toga slijede i njihove bimodalne i polimodalne osobine. Izraz je to poremećaja u dinamici sredine sedimentacije kao što su to, na primjer, promjene brzine taloženja ili prinos materijala nekim drugim morfološkim procesima (vjetar i bujičasti tokovi). Proluvijalni sedimenti nastali taloženjem bujičastog materijala vezani su za zatrpana korita torrenta. To je gotovo isključivo materijal u čijem mehaničkom sastavu prevladavaju pjeskoviti šljunci. Također su bimodalnog i polimodalnog karaktera, na što upućuje pojava sekundarnih maksimuma.

U kategoriju fluvijalnih sedimenata može se, na temelju relativno dobre sortiranosti materijala uvrstiti sloj pruknog pijeska na dubini od 26,10—26,40 m. Vrlo je vjerojatno da je taložen djelovanjem jednog manjeg vodotoka čije je izvorišno područje bilo u prostoru flišne udoline.

Reliktni pedološki horizonti eplgenetski su izmjenjene naslage šljunkovito-siltovitog pijeska i pijeskovito-glinastog silta. PK-I i PK-II predstavljaju šumska tla, s tim da prvi ima osobine podzola, a drugi donji, terra rosse. Oba reliktna tla su relativno siromašna karbonatima u odnosu na ostale dijelove profila.

*Paleogeografska rekonstrukcija geološkog profila
kvarternih naslaga i njihovo značenje u tumačenju
geomorfološke evolucije reljefa*

Pretežno derazijsko porijeklo sedimenata i prisustvo dvaju reliktnih pedoloških horizonata osnova su na temelju kojeg je moguća paleogeografska rekonstrukcija i aproksimativno kronostratigrafsko uvrštavanje naslaga koje sudjeluju u sastavu istraživanog profila.

Crvenkasto smeđe tlo sudeći po boji i relativno velikoj izluženosti predstavlja trag djelovanja pedogenetskih procesa tokom posljednjeg r-v interglacijskog. Crvena boja izraz je toplijih klimatskih osobina područja karakteriziranog visokim ljetnim temperaturama. Da su tokom posljednjeg interglacijskog temperature bile znatno više nego što su to danas i da su mogle stimulirati takove procese površinske kemijske rastrošće, koji su rezultirali crvenkastom bojom tla ukazuje relativno visok udio Fe_2O_3 (7,93%), a potvrđuju to i rezultati rada T. Šegote (1967) na rekonstrukciji hoda prosječnih godišnjih temperatura za Srednju Evropu. R-v interglacijski u nas bio je oko 2 °C toplij od današnjih prosječnih godišnjih temperatura. U prilog interglacijskoj starosti (r-v) reliktnog tla govor i činjenica da se je razvio na proluvijalno-deluvijalno naslagama, koje se i inače pojavljuju u podlozi interglacijskih tala r-v starosti u svim do sada istraženim profilima Panonskog prostora (M. Pecsi, 1965. i A. Bognar, 1978).

Početni dio vurma bio je vlažniji na što ukazuje pojava zatrpanih korita torrenta u naslagama iznad crvenkasto-smeđeg interglacijskog tla. Uslojenost, pijeskovitost i šljunkovitost naslaga govore u prilog akumulaciji primarnog materijala spiranjem, i to najvjerojatnije krinivalnim spiranjem. Slijedi oko 1,20 m debeli sloj pedokompleksa PK-I podzolastih osobina. Odgovara prvom jačem zatopljenju tokom vurma (v 1—2). Prevladavanje šumske vegetacije ukazuje na relativno veliku vlažnost područja.

Od pedokompleksa PK-I na više taloženi su sve do kraja vurma gotovo isključivo derazijske naslage uslojenog šljunkovitog pijeska. Izuzetak u tome čini samo sloj neposredno iznad PK-I u kojem su otkrivena zatrpana korita torrenta s pijeskovitim šljunkom, što govor u prilog jedne jake erozijsko-derazijske faze početkom srednjeg vurma. To uostalom potvrđuje i pojava relativno tankog sloja pijeska fluvijalnog porijekla. Ritmička smjena cementiranih i necementiranih proslojaka šljunkovitog pijeska i uslojenih necementiranih slojeva šljunkovitog pijeska u gornjem dijelu istraživanog profila dokazi su izmjena vlažnijih i sušnijih razdoblja tokom srednjeg i gornjeg vurma, ali su, također, izraz sezonskih promjena vre-

mena. Sterilnost tog dijela profila u palionološkom smislu i nepostojanje reliktnih pedoloških horizonata onemogućuje detaljniju rekonstrukciju fizičko-geografskih osobina tog vremenskog intervala mlađeg pleistocena.

Donji dio istraživanog profila između PK-II i vapnenačke osnove također pokazuje tipično padinski karakter sedimentacije. To su sve deluvijalni šljunkoviti pijesci i proluvijalni pijeskoviti šljunci. Taloženi su u uvjetima hladne stepske klime rliško-glacijalnog razdoblja (vidi prilog II), oblikujući tipičnu predgorskiju stepenicu — *glacis*.

L iterat ura

1. Ambrosl, C. D., 1955., Note illustrative della carta geologica della tre Venezie, Goglio Trieste, Padova.
2. Blašković, V., 1957., Gospodarsko-geografske oznake, u Djelu JAZU, knjiga 49, Otok Susak, Zagreb.
3. Bognar, A., 1978., Les i lesu slični sedimenti Hrvatske, Geografski glasnik br. 40., GDH, Zagreb.
4. Fortis, A., 1771., Saggio d'osservazioni sopra l'isola di Cherso ed Osero, Venezia.
5. Hauer, F., 1868., Geolog. Übersichtskarte d. Öster. Man. Jahrb. d.k.k. geol. R-A, SV XVIII, Wien.
6. Kišpatić, M., 1910., Der sand von der Insel Sansego (Susak) bei Lussin dessen Herkunft. Verhandl. geol. Reichsant., No. 13, Wien.
7. Leonardelli, 1884., Il saldme, il sego e la terra di punta Merlera in Istria come formazione termica, Roma.
8. Križ, J., Kalac, K., Tončić-Gregl, R., Bauer, V., Veličirović, Z., Magdalenić, Zl., 1982., Stratigrafsko-tektonski odnosi i sedimentološke karakteristike pliocenskih i kvartarnih naslaga dijela podmora Sjevernog Jadranu, Zbornik radova X jubilarnog kongresa geologa Jugoslavije, Budva.
9. Đurasek, N., Frank, G., Jenko, K., Kužina, A., Tončić-Gregl, R., 1982., Prilog poznavanju naftno-geoloških odnosa u Sjeverozavadnom dijelu Jadranskog podmora.
10. Lorenz, J., 1959., Skizzen aus der Bodulei und der benachbarten Küsten. Mitteil. aus Justus Perthes geog. Austalt. Gotha.
11. Marchesetti, C., 1982., Cenni geologici sull'isola Sansego. Boll. Soc. adriatica sc. nat. Trieste 7 (non vidi).
12. Moser, L. K., 1907., Ein Ausflug nach der Sandinsel Sansego, Globus, sv. XCI, Braunschweig.
13. Mutić, R., 1967., Pijesak otoka Suska, Geološki vjesnik, Institut za geološka istraživanja i HGD, sv. 20 (1966), Zagreb.
14. Marković-Marjanović, J., 1966., Stratigrafija ljosa ostrova Susak i severnoj časti adriatičeskova morja. Bjuletent, komisiji po izučenju četvertičnovo perioda, No 31, Moskva.
15. Roglič, J., 1949., Geomorfološka istraživanja na Kvarnerskim otocima i Zadarskom primorju, JAZU, Zagreb.
16. Rubić, I., 1952., Naši otoci na Jadranu, Odbor za proslavu 10 godišnjice 1942—1952, Split.
17. Sacco, F., 1924., L'Istria, Mondovi.
18. Salmoiraghi, F., 1907., Sull'origine padana della sabbia di Sansego nel Quarnero, Rend. R. Ist. Lomb., 40, Milano (non vidi).
19. Schubert, R., 1909., Geologija Dalmacije, Zadar.
20. Stache, G., 1872., Geologische Reisenotizen aus Istrien (Triest, Pisino, Sansego, Pomer, Albana). Vesh. geol. Reichsant. Wien.
21. Stache, G., 1888., Neue beobachtungen im Südabschnitt der Istrischen Halbinsel, Verk. geol. Reichsant. Wien.
22. Šandor, F., 1914., Praporasti nanos otoka Suska. Vijesti geol. povj. Hrv. i Slav. 3—4, Zagreb.
23. Klein, V., 1982., The morphostructural division of the Adriatic Submarine relief. Bulletin of the Inqua Neotectonic Commission, No 5, Stockholm.

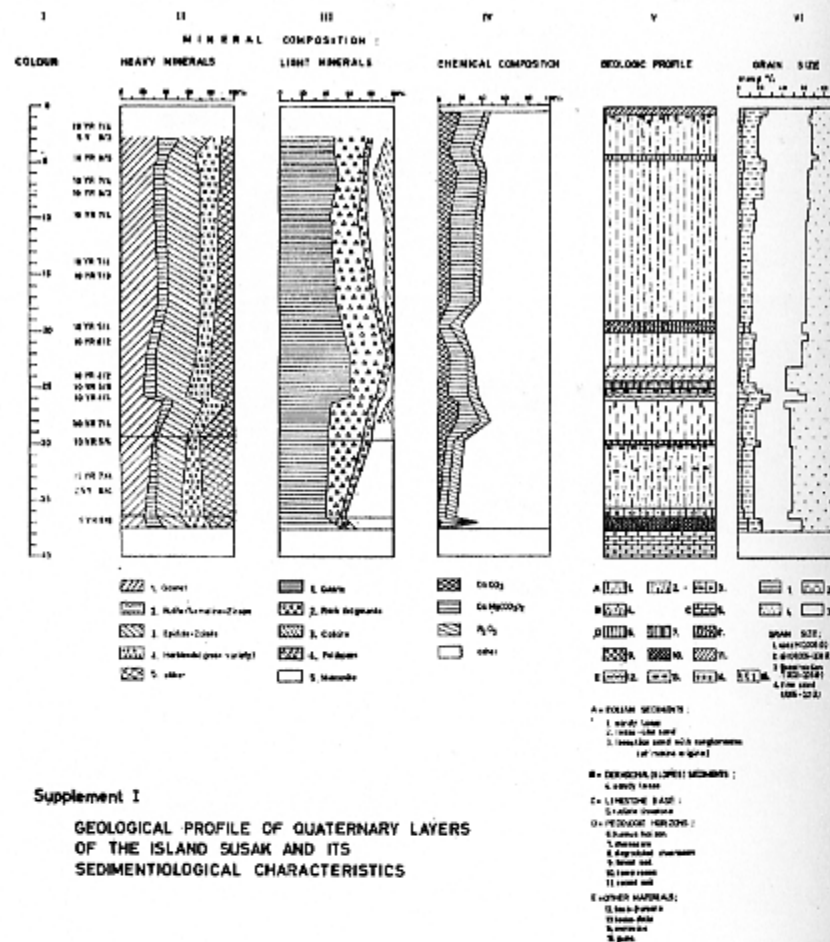
Prilog 1. Granulometrijski i petrografski sastav genetiziranih profila kvartarnih naslaga otoka Suska

Uzorak	Dubina u m	Vrsta sedimenta	GRANULOMETRIJSKI SASTAV U % (VELJICINA ČESTICA U MM)						Granulometrijski parametri							
			0,02-0,06	0,06-0,10	0,10-0,20	0,20-0,50	0,50-0,70	0,70-1,0	%	Md	Q ₃	Q ₁	SO	SK		
S-1/01	0,50—1,30	Pjeskoviti les	1,0	4,0	5,3	9,7	42,0	37,0	0,5	0,4	0,1	0,041	0,068	0,024	1,683	0,971
S-1/02	1,50—4,20	Pjeskoviti les	0,0	3,0	4,9	10,1	49,5	30,5	1,0	0,4	0,1	0,038	0,062	0,025	1,576	1,075
S-2	4,20—4,40	Humusni horizont - reliktni	0,0	3,4	13,2	52,7	27,0	0,2	0,3	0,0	0,0	0,037	0,052	0,024	1,472	0,912
S-II-13	4,40—4,50	Humusni horizont - reliktni	—	—	—	65,0	34,0	1,0	—	—	—	0,042	0,080	0,031	1,438	1,054
S-2/0	4,50—4,60	Humusni horizont - reliktni	0,2	2,8	6,7	13,8	43,5	32,9	0,5	0,5	0,1	0,040	0,062	0,022	1,679	0,852
S-3	4,60—7,50	Pjeskoviti les	0,0	3,5	4,7	13,3	42,5	35,1	0,6	0,3	0,0	0,040	0,063	0,023	1,687	0,925
S-1/2	7,50—8,90	Pjeskoviti les	1,0	1,0	2,3	10,1	50,7	34,4	0,3	0,2	0,1	0,040	0,082	0,026	1,529	1,027
S-1/1	8,50—10,00	Pjeskoviti les	0,5	2,2	1,6	11,5	48,2	35,3	0,4	0,3	0,0	0,041	0,060	0,028	1,464	0,909
S-4/12	10,00—15,00	Pjeskoviti les	1,6	0,6	3,9	7,9	47,5	37,7	0,4	0,2	0,2	0,041	0,061	0,029	1,436	1,035
S-4/11	15,00—19,00	Pjeskoviti les	0,0	1,0	3,0	8,4	49,0	38,1	0,3	0,2	0,0	0,044	0,061	0,030	1,426	0,945
S-II-11	19,00—20,00	Reliktni pedološki horizont	2,0	3,0	4,0	1,0	49,0	37,0	1,0	3,0	—	0,047	0,077	0,037	1,433	1,273
S-4/10	20,00—20,40	Pjeskoviti les ³	—	—	—	—	—	—	—	—	—	—	—	—	—	—
S-4/8	20,40—22,00	Pjeskoviti les	0,0	3,0	2,8	6,2	47,0	39,8	0,6	0,4	0,2	0,045	0,062	0,030	1,437	0,918
S-4/7	22,00—23,00	Pjeskoviti les	1,0	1,0	6,7	11,0	49,1	30,6	0,3	0,3	0,1	0,038	0,056	0,025	1,497	0,949
S-4/6	23,00—24,40	Detraktijski lesoliki pjesak	0,0	1,0	3,2	5,5	34,3	54,3	1,1	0,5	0,1	0,055	0,075	0,035	1,464	0,868
S-II-3	24,40—24,77	Reliktni pedološki horizont	—	—	—	—	82,0	17,0	1,0	—	—	0,034	0,055	0,030	1,183	1,099
S-4/5	24,77—25,00	Reliktni pedološki horizont	0,0	5,3	8,7	12,0	34,6	36,6	1,4	1,3	0,1	0,040	0,070	0,019	1,920	0,831
S-II-7	25,00—25,40	Pjeskoviti les ⁴	—	—	—	—	—	—	—	—	—	—	—	—	—	—
S-4/4	25,40—26,00	Reliktni pedološki horizont	4,0	4,0	10,0	34,0	40,0	3,0	—	—	—	0,040	0,062	0,022	1,689	0,914
S-4/4	26,00—26,55	Lesoliki pjesak ⁵	—	—	—	—	—	—	—	—	—	0,044	0,070	0,023	1,784	0,795
S-4/3	26,55—29,60	Konkretljama	5,2	1,8	6,9	7,3	21,8	50,2	3,8	3,0	0,0	0,056	0,084	0,028	1,732	0,750
S-4/2	29,60—29,75	Lesoliki pjesak	2,0	2,0	3,8	7,8	32,4	47,5	2,8	1,6	0,1	0,051	0,080	0,031	1,594	0,969
S-4/1	29,75—36,30	Reliktni pedološki horizont	4,0	6,0	8,8	27,2	46,8	4,2	3,6	0,0	0,054	0,084	0,027	1,764	0,777	
S-II-9	36,30—36,50	Reliktni pedološki horizont s konglomeratom	5,0	4,0	3,0	4,0	43,0	37,0	3,0	1,0	0,1	0,050	0,076	0,031	1,571	0,936
S-II-2	36,50—37,00	Reliktni pedološki horizont	—	—	—	—	81,0	18,0	1,0	—	—	0,046	0,070	0,029	1,554	0,959
S-II-1	37,00—37,40	s konglomeratom	6,0	3,0	4,0	8,0	35,0	38,0	2,0	1,0	—	0,039	0,045	0,038	1,173	0,926

Prilog 2. Granulometrijski sastav i odgovarajući parametri profila kvarternih naslaga Baške na otoku Krku

Uzorak Broj	Vrsta sedimenta	Dubina vadenja uzorka u m	>0,002	GRANULOMETRIJSKI SASTAV U % (Veličina čestica u mm)						Granulometrijski parametri								
				0,002-0,005	0,005-0,01	0,01-0,02	0,02-0,05	0,05-0,10	0,10-0,20	0,20-0,50	0,50-1,00	Md	Q ₃	Q ₁	SD	SK		
B-22	šljunkoviti pijesak	6,30—13,80	—	—	—	—	4	5	20	33	38	0,75	—	—	—	—		
B-20	Krupni pijesak	26,10—26,40	—	—	—	—	3	4	8	36	41	8	0,90	0,67	0,31	1,47		
B-18	Vremni pijeskoviti šljunak	28,40—28,20	—	—	—	—	3	3	10	34	50	1,00	—	—	—	—		
B-17	Pjeskoviti šljunak	28,20—29,40	—	—	—	—	3	1	8	12	76	—	—	—	—	—		
B-2	šljunkovito-siltoviti pijesak	29,40—29,90	—	—	2	4	8	15	8	17	13	33	0,37	—	—	—		
B-3	šljunkoviti pijesak	29,90—30,50	—	—	—	—	—	7	4	21	25	43	0,775	—	—	—		
B-4	pjeskoviti šljunak	30,50—30,80	—	—	1	1	0,5	2,5	5	18	21	51	1,05	—	—	—		
B-5	šljunkoviti pijesak	30,80—31,00	—	—	1	1	6	7	26	30	28	0,98	1,100	0,210	1,884	1,014		
B-6	pjeskoviti šljunak	31,00—31,10	—	—	—	—	1	6	6	19	17	51	1,01	—	—	—		
B-7	šljunkoviti pijesak	31,10—31,40	—	—	0,5	1	1	6,5	11	36	23	19	0,44	0,790	0,240	1,768	0,991	
D-9	Vremni šljunkoviti pijesak	31,40—31,60	—	—	1,0	1,0	1,0	6,0	25,0	22,0	43,0	0,50	—	—	—	—		
B-9	šljunkoviti pijesak	31,60—31,90	—	—	—	—	1,0	7,0	14,0	38,0	22,0	46,0	0,42	0,660	0,225	1,713	0,842	
B-10	šljunkoviti pijesak	31,90—32,00	—	—	—	—	—	4,0	5,0	30,0	31,0	60	—	—	—	—		
B-13/2	šljunkoviti pijesak	32,00—32,80	—	—	—	—	—	1,0	7,0	10,0	27,0	30,0	25,0	0,55	—	—	1,889	0,928
B-15/2	šljunkovito-siltoviti pijesak (baukovci 0,02-0,04)	25,20—37,90	—	—	—	—	2,0	4,0	11,0	17,0	21,0	34,0	0,80	—	—	—	—	
B-14/2	pjeskoviti šljunak	37,90—43,00	—	—	—	—	—	4,0	1,0	8,0	18,0	69,0	—	—	—	—	—	

24. Zbornik rada o simpoziju »Kompleksna naftno-ecološka problematika podmorja i priobalnih dijelova Jadranskog mora« ZSN JAZU; Sekcija za prijenaru geol., geof. i geokemijske (19—21. 5. 1981), Split.
25. Skrivančić, A., Magdalenić, Z., 1979., Cruises of the research vessel »Vila velebita« in the Kvarner region of the Adriatic sea, Thalassia Jugoslavica 15 (1/2). Institut »Ruder Bošković«, Zagreb.
26. Segota, T., 1966., Quaternary temperature changes in central Europe, Erdkunde, Archiv für wissenschaftliche geographie, Band XX, LFG. 2, Bonn.
27. Pécsi, M., 1965., Zurfrage der typen der löss- und lössartischen einleitung, Földrazi Közlemények, 4, Budapest.



Supplement I

GEOLOGICAL PROFILE OF QUATERNARY LAYERS OF THE ISLAND SUSAK AND ITS SEDIMENTOLOGICAL CHARACTERISTICS

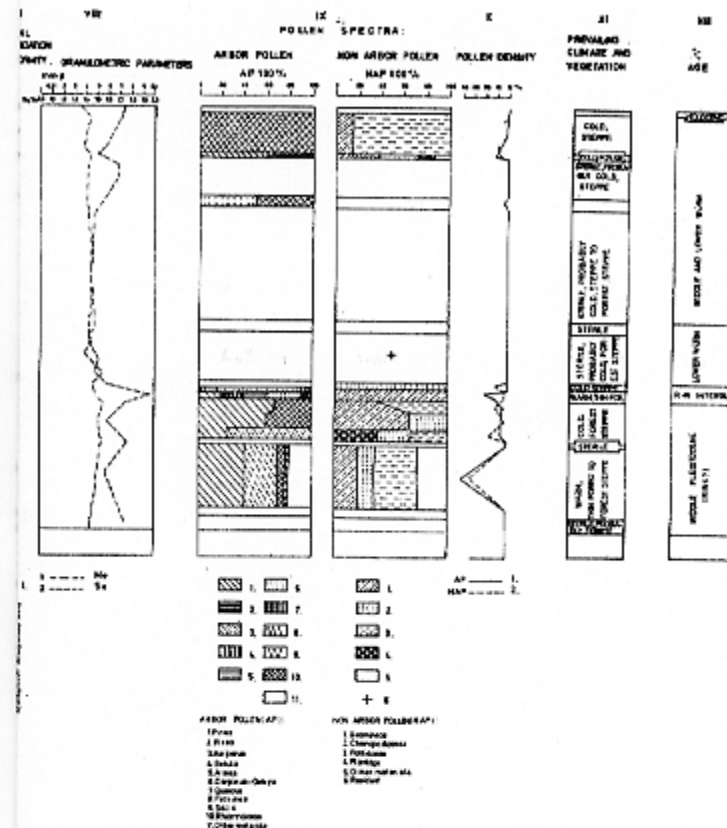
Graf.

Prilog 1.

Geološki profil i sedimentološke osobine kvarternih naslaga otoka Suska

LEGENDA:

- I. Boja
- II. Teški minerali
 - 1. granat 2. rutil+turmalin+cirkon 3. epidot+coisit 4. zelena hornblenda
- III. Lakši minerali
 - 1. kvarc 2. čestice stijena 3. kalcit 4. feldspat 5. muskovit
- IV. Kemijski sastav
 - 1. CaCO₃ 2. CaMg(CO₃)₂ 3. R₂O₃ 4. ostalo
- V. Geološki profil
 - A — eolski sedimenti 1. pjeskoviti les 2. lesoliki pjesak 3. lesoliki pjesak s konglomeratima (marinskog porijekla)
 - B — derazijski aedimenti 4. lesoliki pjesak
 - C — vapnenacka osnova 5. rudistični vapnenac
 - D — pedološki horizonti 6. humusni horizont 7. černozjom 8. degradirani černozjom 9. šumsko tlo 10. terra rossa 11. recentno tlo
 - E — ostali materijali 12. fero-humat 13. lesne lutke 14. krotovine 15. travovi djelovanja glista



Granulometrijski sastav — veličina zrna

1. gлина (manje od 0,005 mm)
2. silt (0,005—0,02 mm)
3. lesna frakcija (0,02—0,05 mm)
4. fini pijesak (0,05—0,2 mm)

Denuudacijske diskordancije

1. denudacijska diskordancija

Granulometrijski parametri

1. medijan
2. sortiranost zrna

Palinološki sastav — Arbor Polen

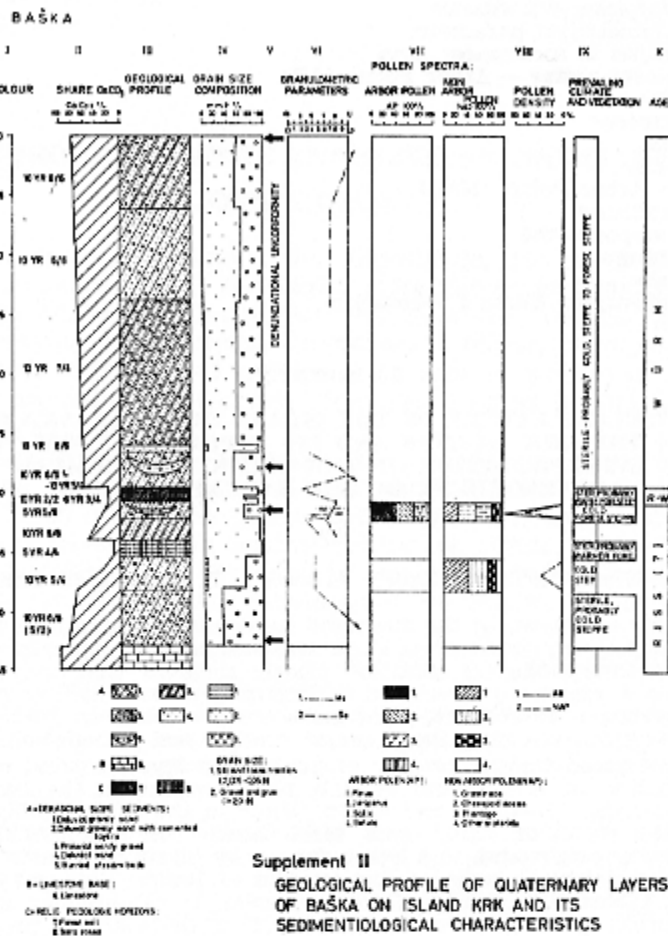
1. Pinus
2. Picea
3. Juniperus
4. Betula
5. Alnus
6. Carpinus-Ostrya
7. Quercus
8. Fraxinus
9. Salix
10. Rhamnaceae
11. ostalo/Non Arbor Polen (NAP)
1. Gramineae
2. Chenopodiaceae
3. Pottiaceae
4. Plantago
5. ostalo
6. ostatak

Gustoća polena

1. AP — šumski polen
2. NAP — travni polen

Prevladavajuća klima i vegetacija

Starost



Graf.
Prilog 2.

Geološki profili i sedimentološke osobine kvarternih naslaga Baške na otoku Krku

LEGENDA:

- I. Boja
- II. Udio CaCO₃
- III. Geološki profili
 - A — Deraziski padinski sedimenti
 - 1. deluvijalni šljunkoviti pijesak
 - 2. deluvijalni šljunkoviti pijesak s cementiranim slojevima
 - 3. proluvijalni psjekoviti šljunak
 - 4. deluvijalni pijesak
 - 5. zatrpana korita povremenih tokova
 - B — Vapnenačka osnova
 - 6. vapnenac
 - C — reliktni pedološki horizont
 - 7. šumsko tlo
 - 8. terra rossa
- IV. Graulometrijski sastav — veličina čestica
 - 1. silt i lesna frakcija (0,005—0,005 mm)
 - 2. pijesak (0,05—2,0 mm)
 - 3. šljunak i griz (više od 2,0 mm)

- V. Denudacijske diskordance
- VI. Granulometrijski parametri
 - 1. medijan 2. sortiranost zrna
- VII. Palinološki sastav — Arbor Polen (AP)
 - 1. Pinus
 - 2. Juniperus
 - 3. Salix
 - 4. Betula
 - Non Arbor Polen (NAP)
 - 1. Gramineae
 - 2. Chenopodiaceae
 - 3. Plantago
 - 4. ostalo
- VIII. Prevladavajuća klima i vegetacija
- IX. Starost

S u m m a r y

QUATERNARY LAYERS OF THE ISLAND OF SUSAK AND BAŠKA ON THE KRK ISLANDS AND ITS IMPORTANCE FOR THE INTERPRETATION OF THE GEOMORPHOLOGICAL DEVELOPMENT OF THE KVARNER REGION

by

A. Bognar, V. Klein, R. Tončić-Gregl, A. Šercelj, Z. Magdalenić and M. Culiberg

Quaternary sediments of the mainland coast and the islands of the Northern Adriatic occupy a very small area. Their appearance is of typically «oasitic» nature. Their geomorphological situation clearly suggests that they are remains of an articulate, regionally developed sedimentary cover which came into being during the younger pleistocene. They have survived only in places where the relief predisposition did not favour major erosion and denudation.

The investigated vertical profiles of quaternary layers (island of Susak, Baška in the island of Krk, island of Rab, and Povljane in the island of Rab) differ in thickness (15—45 m) and origin. While in the island of Susak they are represented by strata of sandy loess, sandy loess-like sediments and loess-like sand of eolic origin and, to a lesser degree, by layers of derasional loess and several relict pedological horizons, the profiles of Baška, Rab and Povljane are built almost exclusively of slope layers (angular to sub-angular gravels, gruss and sands, banks of material of the same kind) of deluvial and proluvial origin. This is suggested by their granulometric, chemical and mineralogical composition and the textural structure of the sediments and by the traces of filled-up beds of gullies and periodical watercourses. Within the slope layers two well developed pedological horizons have been established.

In contrast to the layers of eolic origin in the island of Susak, where mineralogical analyses have shown the source of primary material to be undoubtedly connected with the fluvial sediments of the river Po and its tributaries, in the case of the slope sediments as a rule local sources of residuals of carbonate rock (limestone, dolomites) and, more rarely, of clastic sediments are involved.

Although the palinological analyses have only partly produced positive results, it may be concluded that the eolic layers of the island of Susak became deposited in cold climatic conditions, most probably during the younger pleistocene. During the accumulation of primary material a warm forested steppe dominated in the lower, sandier layers, while in the layers nearer the surface the cold type of forested steppe and steppe predominated. There is a similar situation as regards the Baška profile where there is a more marked predominance of steppe elements.

Sedimentological properties and established relict pedological horizons, which in general are steppe types of soil, and excepting the basic pedo-complex which belongs to the category of forested soils, the layers of the investigated profiles are largely of the Würm and Riss age.